

## Entwicklung biobasierter Metallbearbeitungsöle für die kryogene Minimalmengenschmierung (ECO<sub>2</sub>iI)

Trixi Meier, M. Sc.

Dr.-Ing. Daniel Gross

Prof. Dr.-Ing. Nico Hanenkamp

Lehrstuhl für Ressourcen- und Energieeffiziente Produktionsmaschinen Friedrich-Alexander-Universität Erlangen-Nürnberg

### **Agenda**







- 01 Projektvorstellung
- 02 Kryogene Minimalmengenschmierung
- 03 Experimentelle Randbedingungen
- **04** Ergebnisse
- 05 Zusammenfassung



Lehrstuhl für Ressourcen- und Energieeffiziente Produktionsmaschinen Friedrich-Alexander-Universität Erlangen-Nürnberg

Technische Fakultät



### Projektvorstellung

### **Projektvorstellung**

#### Allgemeine Informationen







#### Projektrahmen

- Projektlaufzeit: 01.06.2019 31.05.2022
- Zuwendungshöhe: 392.126,09 €

### **Projektziel**

"Das Gesamtziel des Verbundvorhabens besteht darin, biobasierte Schmierstoffe zu entwickeln, die zur Anwendung als Kühlschmierstoff in neuen kryogenen Kühlkonzepten einer Minimalmengenschmierung für die Bearbeitungstechnologien Drehen, Fräsen und Bohren geeignet sind."

Zuwendungsbescheid vom 01.04.2019

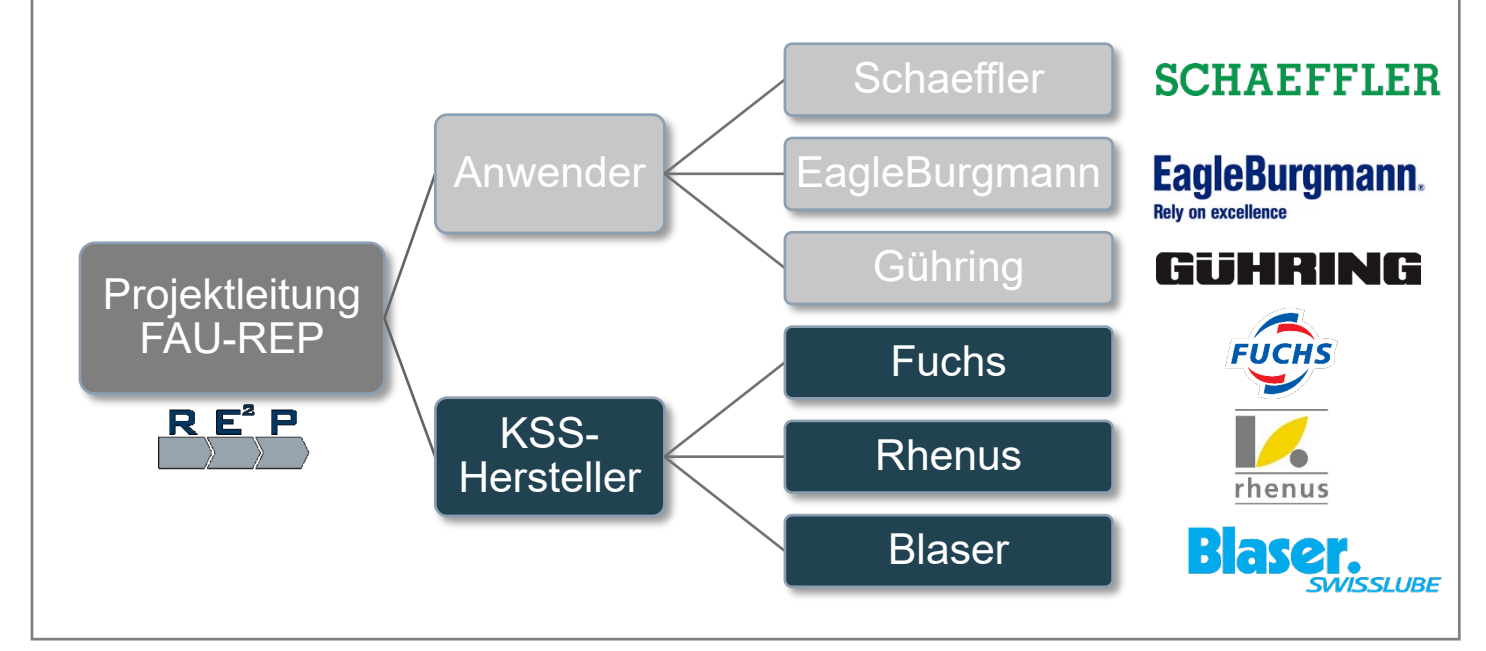
### **Projektstruktur**

■ Förderkennzeichen 22005218





• Organigramm



### **Projektvorstellung**

Projektinhalt









Meilensteine Lasten- und Pflichtenheft der Grundöle für Drehen/Fräsen/ Bohren Auswahl/Validierung Grundöl, Lasten- und Pflichtenheft für Additive Ausweisung biobasierter Bearbeitungsmedien für Drehen/Fräsen/ Bohren Quantifizierte
Ergebnisse für die
Nutzung von
biobasierten
Schmierstoffen

Abschlussbericht



### Kryogene Minimalmengenschmierung

### Kryogene Minimalmengenschmierung

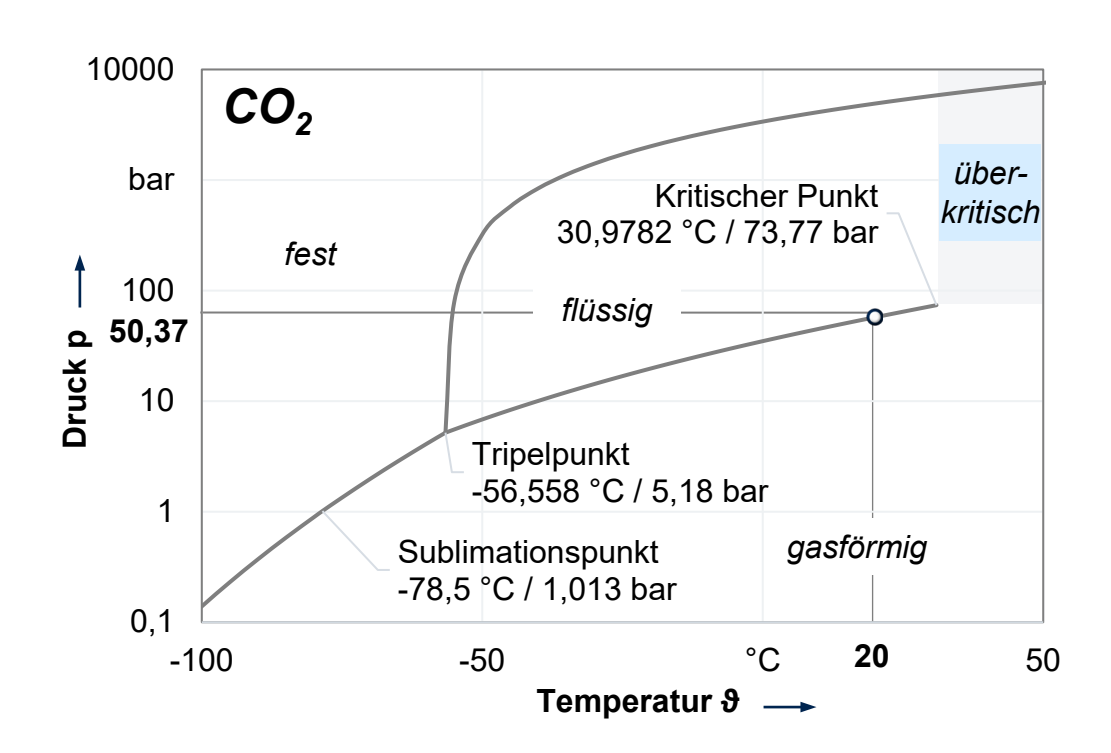






Kryogene Kühlung mit CO<sub>2</sub> und Minimalmengenschmierung

### Kohlenstoffdioxid (CO<sub>2</sub>)



#### Eigenschaften CO<sub>2</sub>

- farblos, geruchlos, ungiftig, nicht entflammbar
- Sublimationspunkt bei  $\vartheta = -78,5$  °C, p = 1,013 bar

### Minimalmengenschmierung (MMS)

- gasförmiges Trägermedium für geringe Ölmengen (< 50ml/h)</li>
- Keine primäre Kühlwirkung
- Verlustschmierung
- geringerer Aufwand für Wartung, Pflege, Entsorgung und Bauteilreinigung
- kein direkter Kontakt des Personals mit KSS

### Kryogene Minimalmengenschmierung (kMMS)

- flüssiges kryogenes Trägermedium für geringe Ölmengen (< 50ml/h)</li>
- Prozessschmierung und -kühlung (interne oder externe Zuführung, ein- oder zweikanalige Zuführung von kryogenem Medium und Öl)
- Reduktion der Prozesswärme und des temperaturinduzierten Verschleißes
- Erhöhung des Zeitspanvolumens



Bearbeitungsmaschinen und kMMS-Mischsystem













Coriolissensor

CO<sub>2</sub>-Ableitung



Ölreservoir

Ölleitung

CO<sub>2</sub>-Zuleitung

**HPLC-Pumpe** 

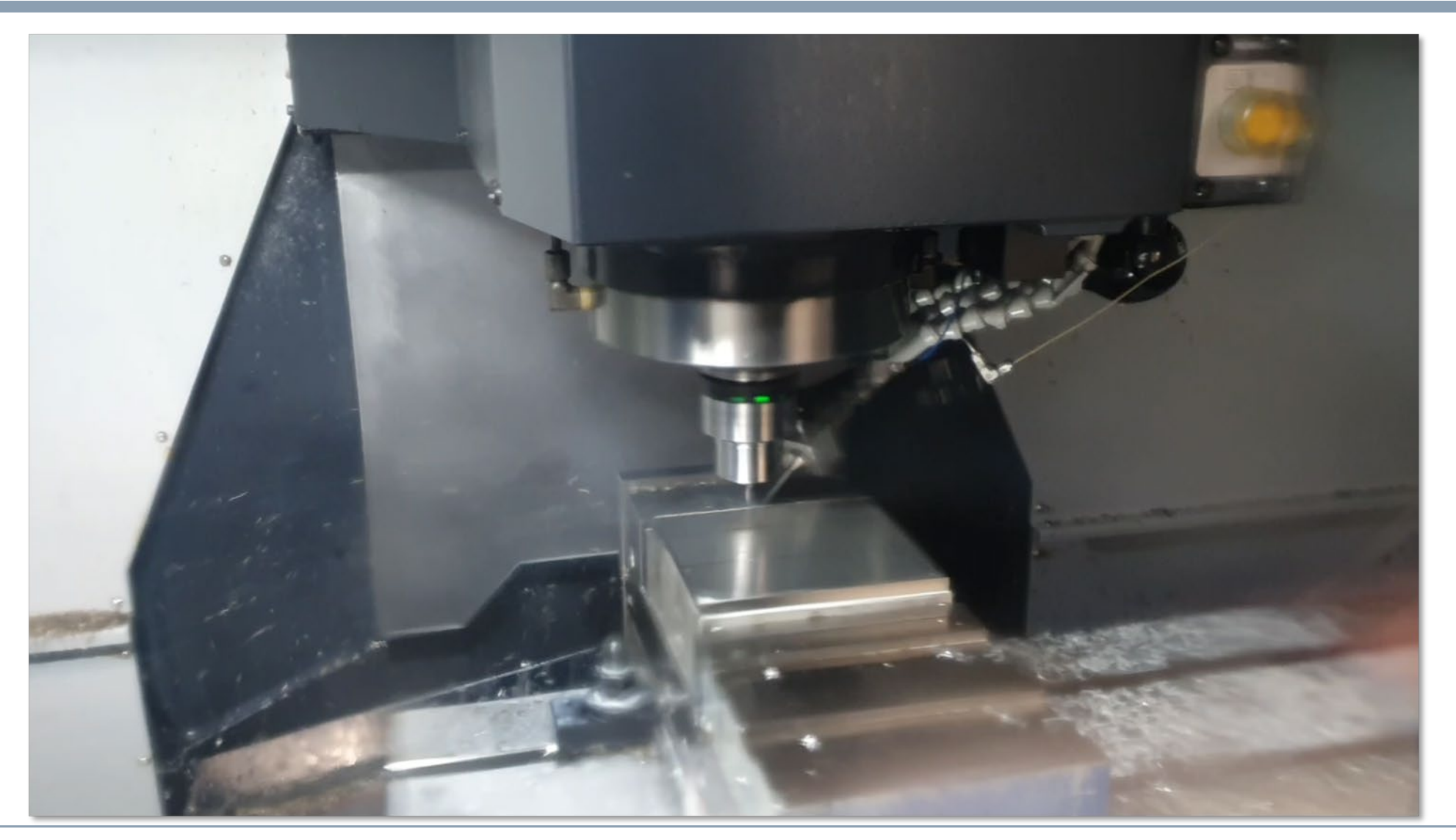








Externe Zuführung: Fräsen mit kMMS von 1.4404

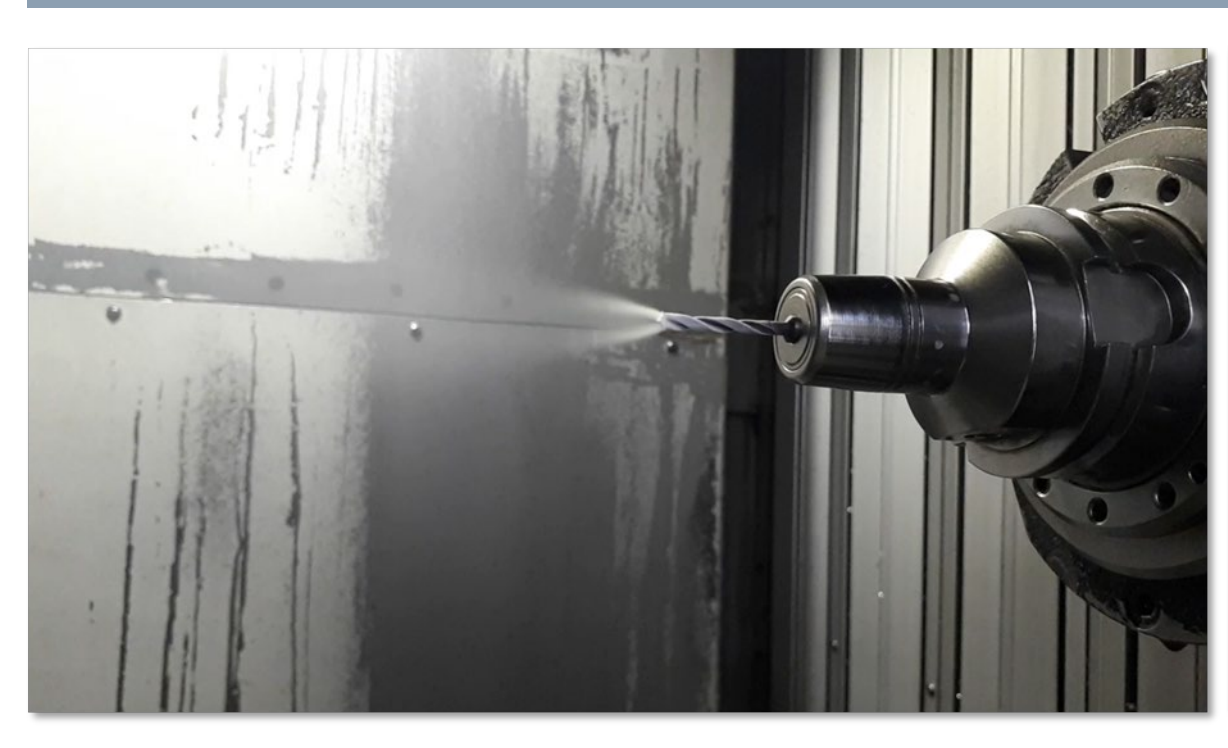


**GFNR**Fachagentus Nachwachsende Robstoffe e V

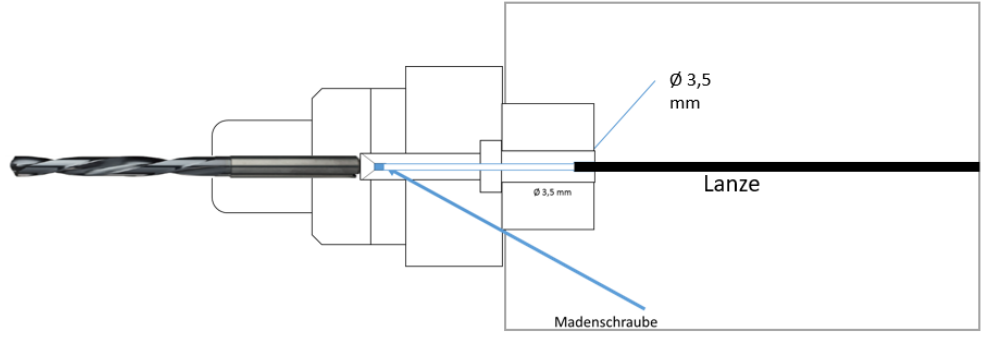




Interne Zuführung: Bohren mit kMMS von 1.4404





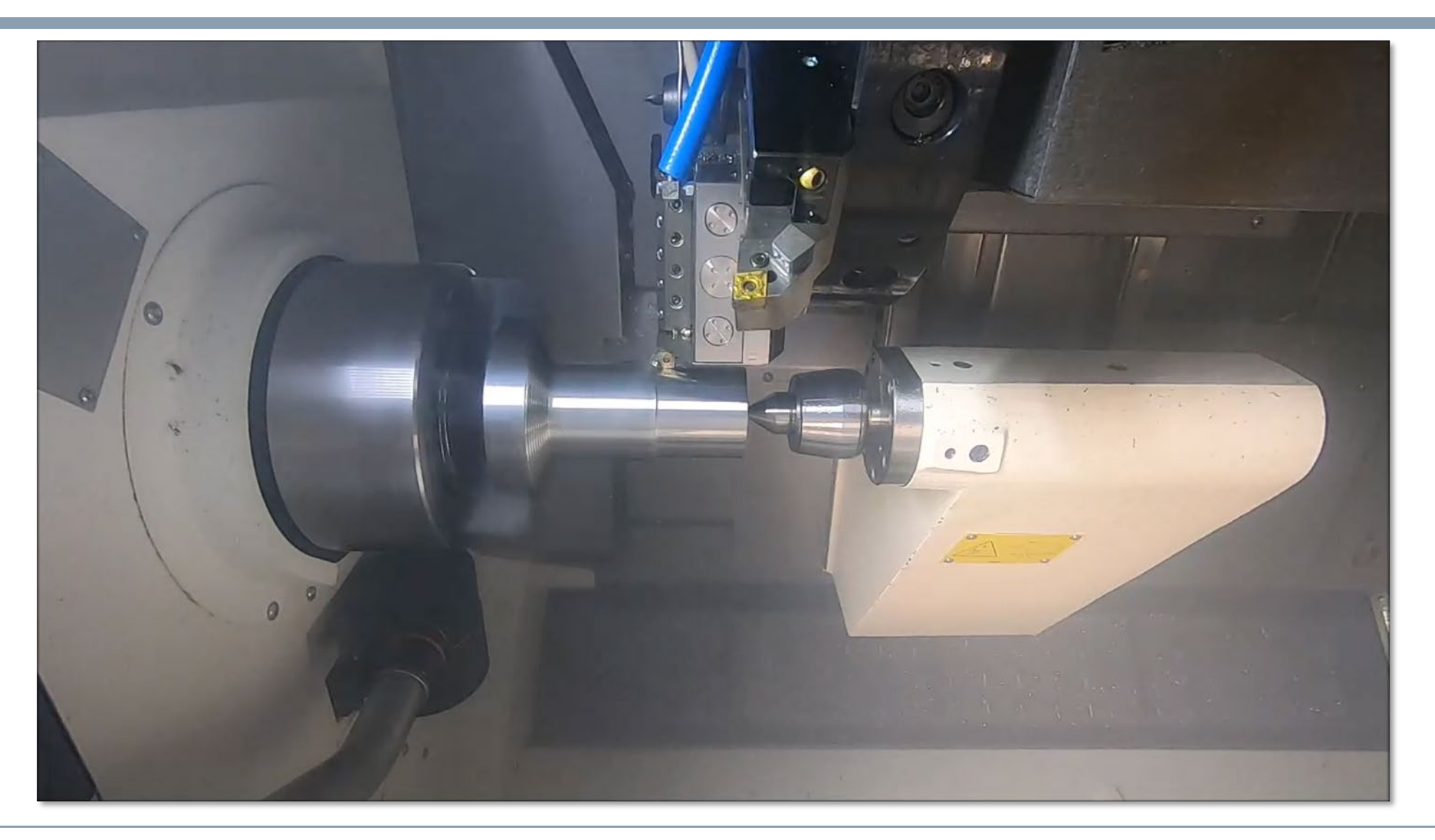








Interne Zuführung: Schruppdrehen mit kMMS von 1.4404









Interne/Externe Zuführung: Schlichtdrehen mit kMMS von 1.3505







FNR-Bioschmierstofftagung 2023 22. Juni 2023 22. Juni 2023 13









### Grundöle

Name	Beschreibung	Anteil RRM (Renewable Rawmaterial)
KW 02	Hydrocracköl	0 %
KW 01	renewable	75 – 99 %
NE 01		100 %
NE 02	Triglyceride	100 %
NE 03		100 %
SE 01	Monoester	75 – 99 %
SE 09	iviorioester	>50 %
SE 11	Ester	unbekannt
SE: Synthetischer Ester		<b>KW:</b> Kohlenwasserstoff
NE: Natür	licher Ester	

### Additivierte Öle

Name	Daaahraihung	Additive	
Name	Beschreibung	Schwefel	Phosphor
KW 0201	Hydrocracköl	Х	
KW 0101	renewable	XX	X
NE 0101		XX	X
NE 0102	Triglyceride	X	X
NE 0103			X
NE 0201		X	
NE 0202		X	X
NE 0203		X	X
NE 0204	_	XX	X
NE 0205	_	XX	X
NE 0206		XX	XX
NE 0301		X	
NE 0302		X	X
SE 0101		X	X
SE 0901	Monoester	X	
SE 0902		X	X
SE 1101	Ester	X	

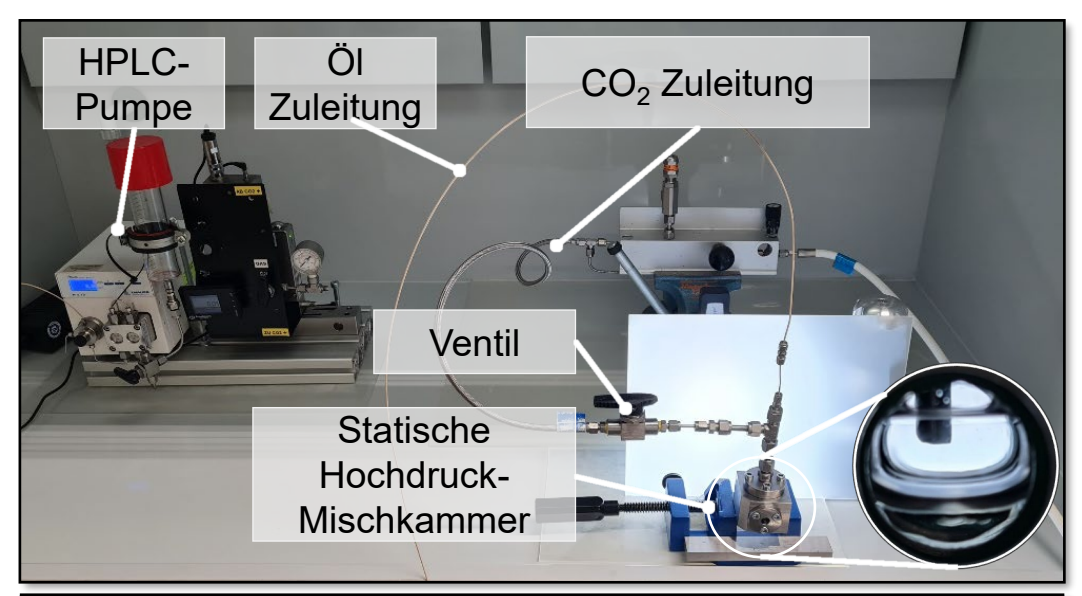






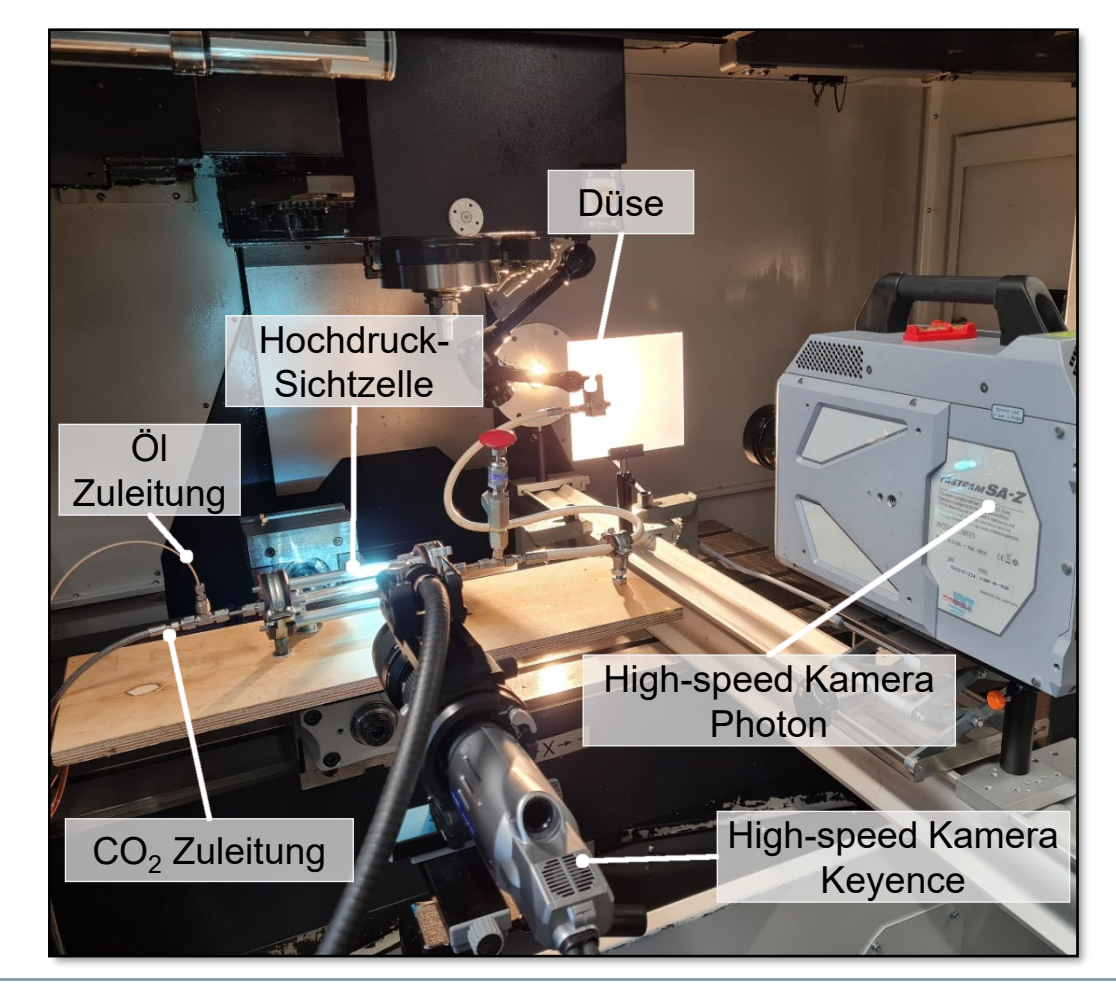
Untersuchungen zur statischen/dynamischen Löslichkeit und Sprühbild

### Statische Löslichkeit



Experiment	Dynam. Löslichkeit	Sprühbild
Kamera	Keyence VW9000	Photon FASTCAM SA-Z
Belichtungszeit	1/900.000 s	1/800.000 s
frame rate	10.000 fps	40.000 fps
Auflösung	640 x 192 pixel	1024 x 512 pixel
Belichtung	front view luminaire	LED lamp from behind
<b>Aufnahmezeit</b>	ca. 1,5 s	0,05 s (2000 images)
Verlangsamung	x 666	x 1000

### Dynamische Löslichkeit und Sprühbild



Technische Fakultät



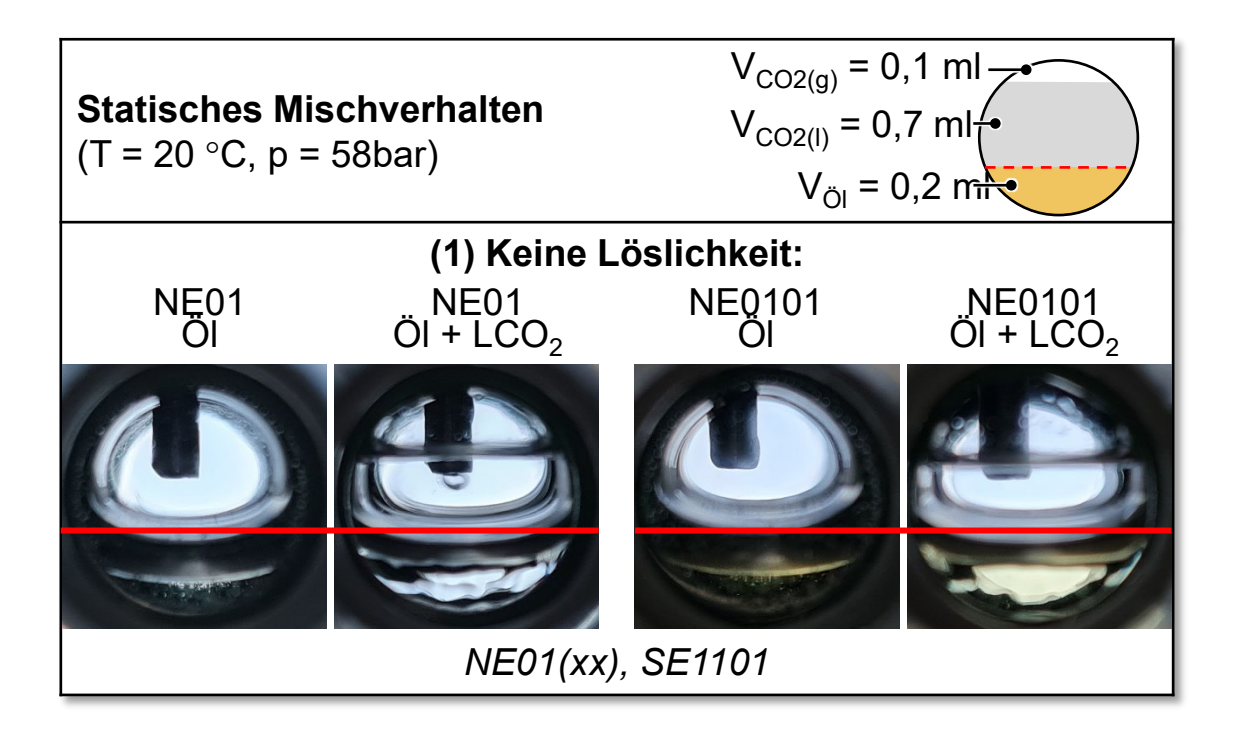
### Ergebnisse

### GFNR Fachgaentur Nachwachsende Rohstoffe e.V.

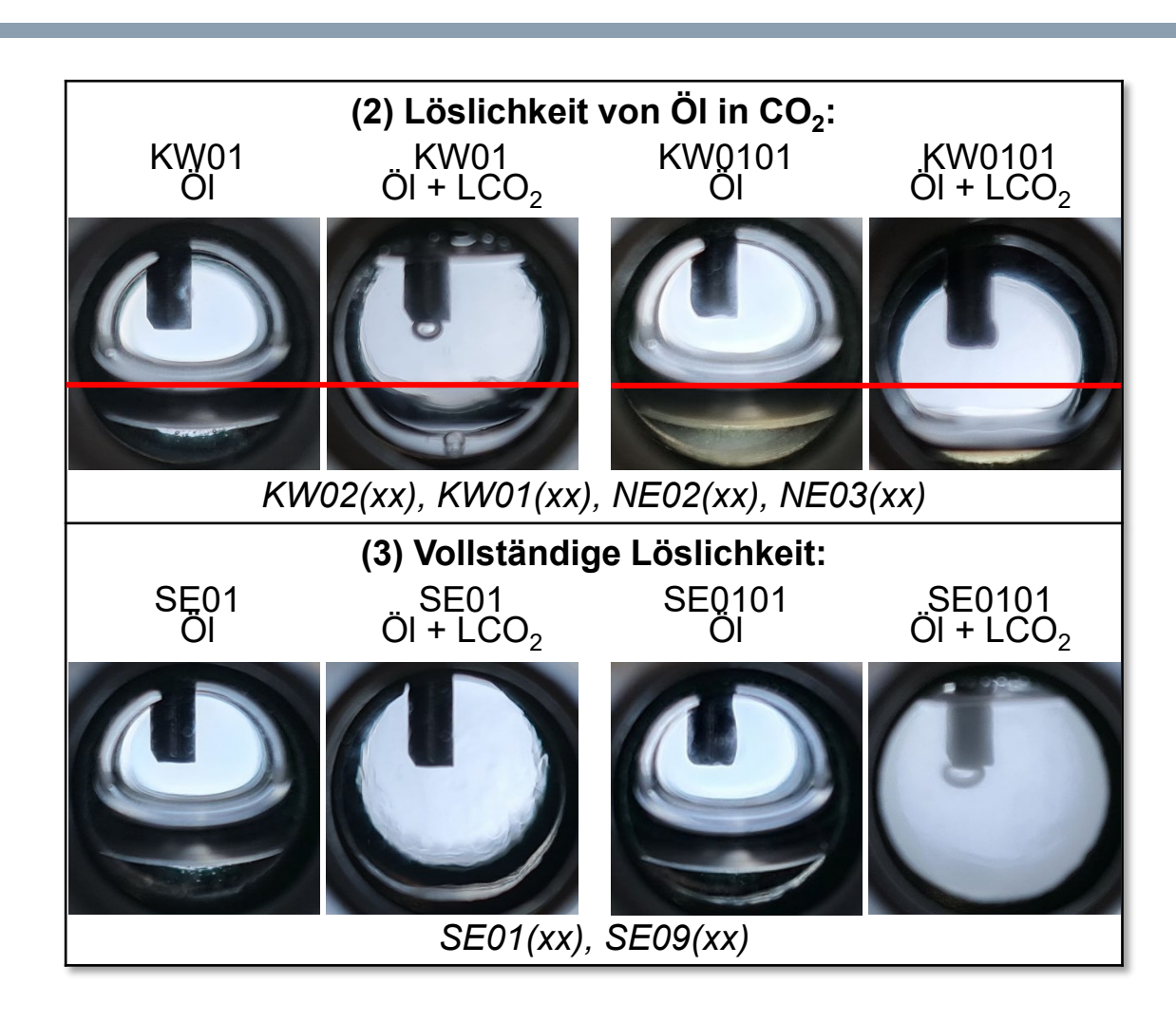




#### Untersuchungen zur statischen Mischbarkeit



- drei verschiedene Zustände: keine Löslichkeit, Löslichkeit von Öl in CO<sub>2</sub> und vollständige Löslichkeit
- Vollständige Löslichkeit der synthetischen Ester SE01(xx) und SE 09(xx)
- Kein direkter Einfluss der Additivierung auf die Löslichkeit erkennbar



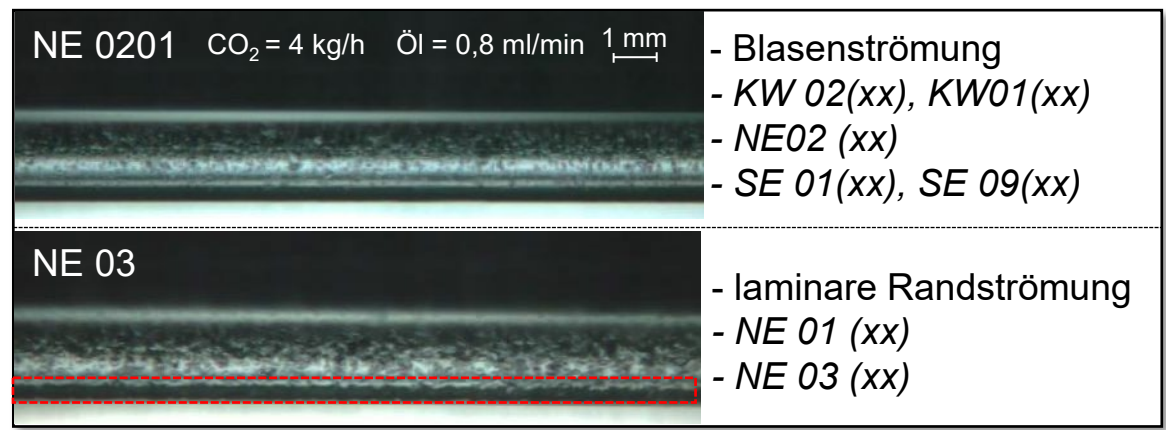






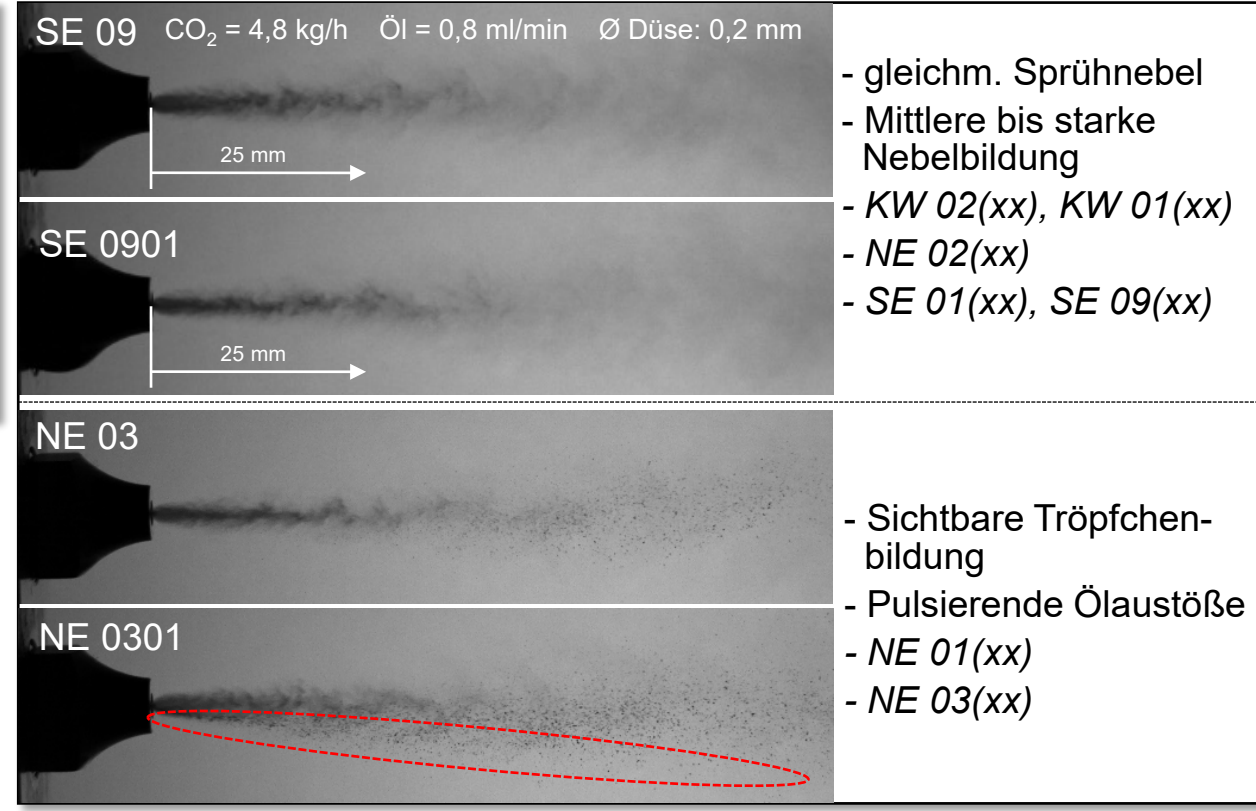
Untersuchungen zur dynamischen Löslichkeit und Sprühbild

### Dynamische Löslichkeit



- Testöle auf der Basis von Raps-/Sonnenblumenöl (NE02/03: Testöle mit der höchsten dynamischen Viskosität)
  - langsame laminare Randströmung des Öls beim Einsatz der Düse d<sub>i</sub> = 0,2 mm
  - keine laminare Randströmung mit der Düse d<sub>i</sub> = 0,3 mm
- nicht nur die Viskosität bedingt eine laminare Randströmung, sondern auch die Strömungsgeschwindigkeit
- die Geschwindigkeit kann durch den Wechsel zur größeren Düse von ca. v = 1 m/s auf ca. v = 2,5 m/s erhöht werden

### Sprühbild

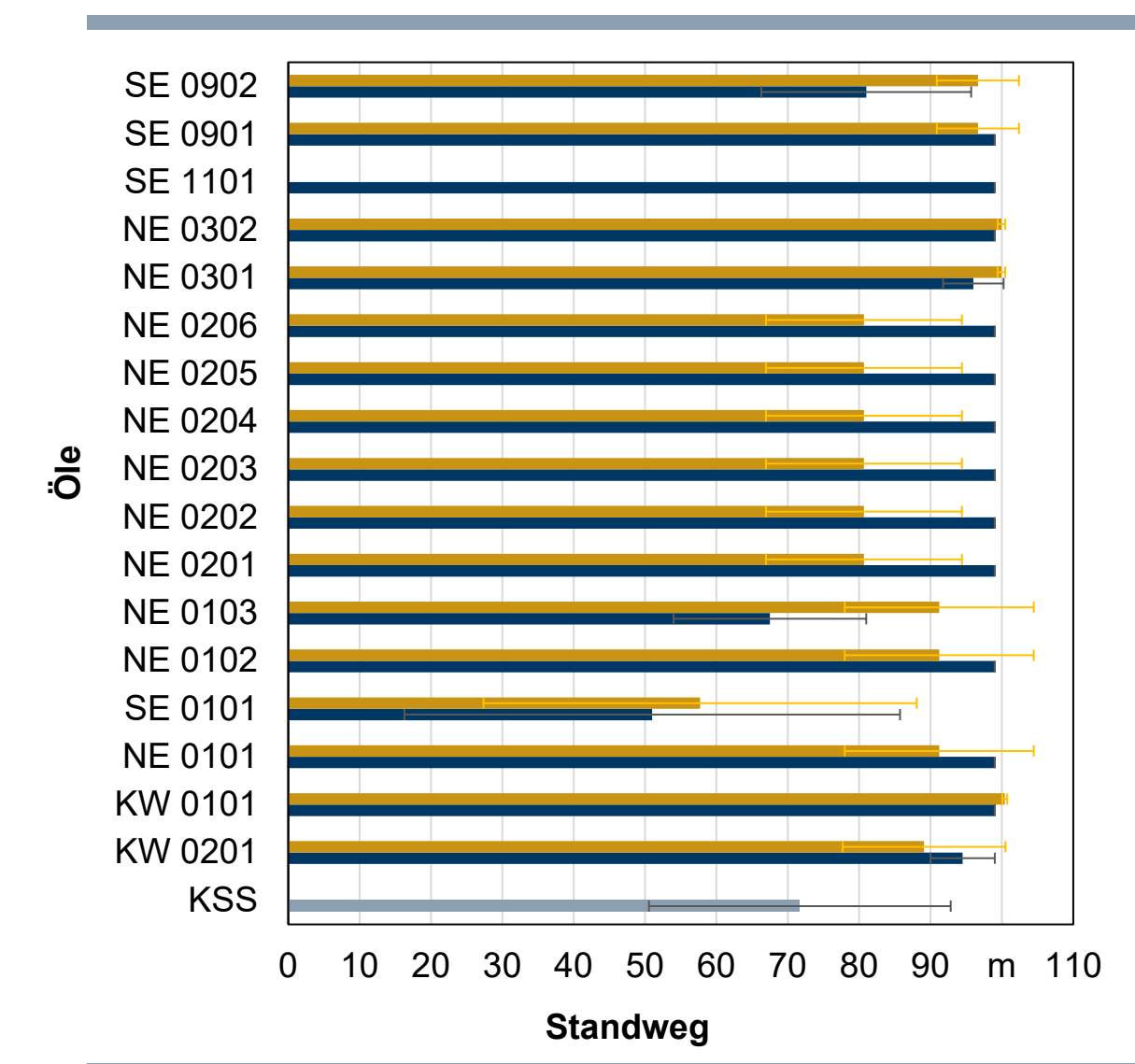


#### Korrelation mit Fräsprozess









Fräsen			
Parameter	Wert		
Material	1.4404		
V <sub>c</sub>	264	m/min	
n	10500	U/min	
f	0,06	mm/U	
$a_{\rm e}$	0,8	mm	
$a_{p}$	8	mm	
Öl Durchfluss	0,8	ml/min	
CO <sub>2</sub> Durchfluss	4,5	kg/h	
Grundöl	Additiv	iertes Öl	

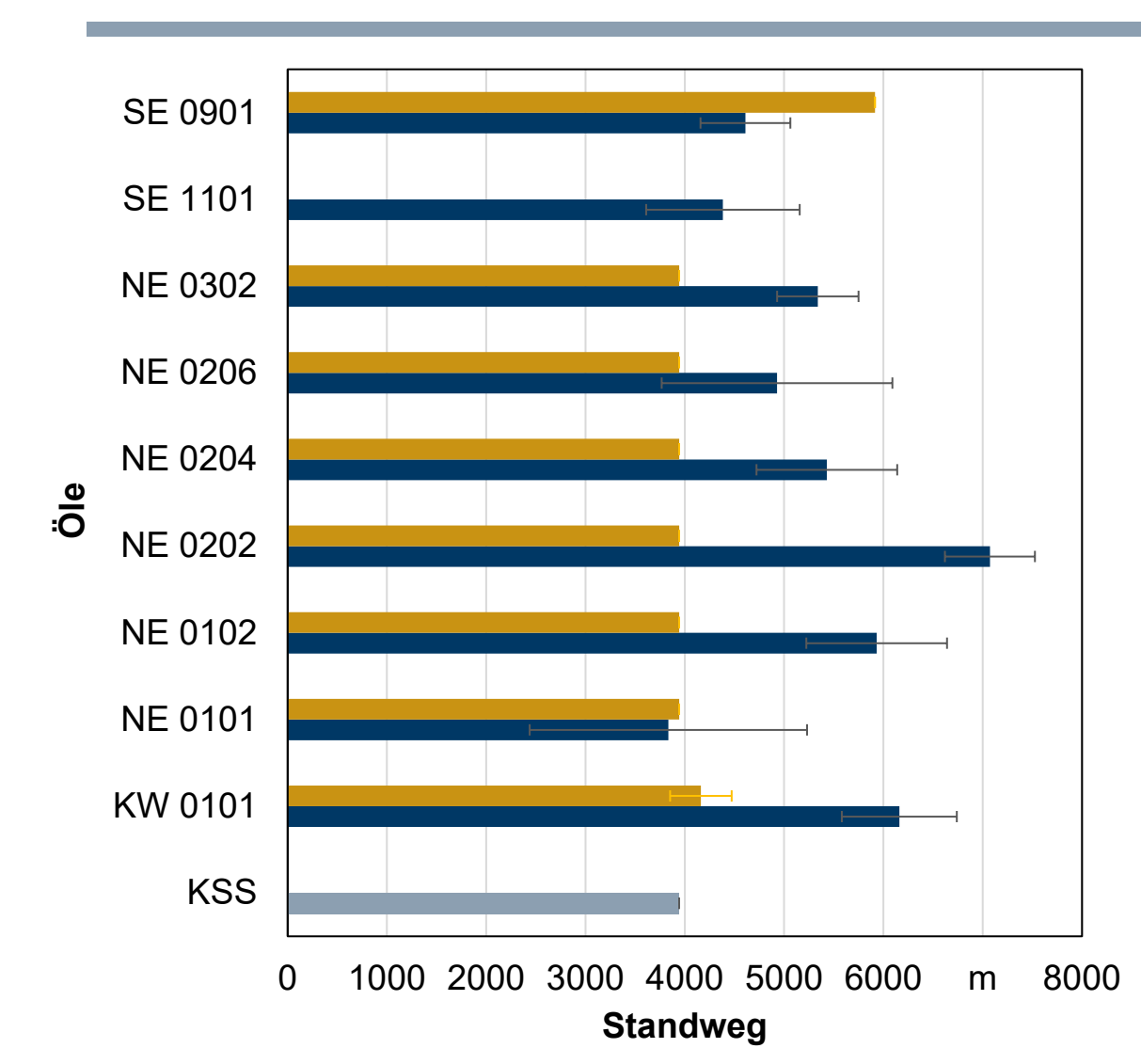
- kMMS mit biobasierten Ölen liefert bessere Ergebnisse als der Referenzversuch mit KSS
- Sonnenblumenöl: mit dem Basisöl (NE 03) konnte eine höhere Standzeit erreicht werden, als mit den additivierten Varianten (NE 03(xx))
- Rapsöl: additivierte Öle (NE 02(xx)) höhere Standzeit als Grundöle
- synthetische Ester: die vollständige statische Löslichkeit scheint im Vergleich zu anderen Ölen keinen direkten Einfluss auf die Wirksamkeit bei der Bearbeitung zu haben

### **GFNR**Fighteenty Nightweekends Publishen V





#### Korrelation mit Schruppdrehprozess



Schruppdrehen		
Parameter	Wert	
Material	1.4404	
V <sub>c</sub>	160	m/min
f	0,06	mm/U
$a_p$	3	mm
Öl Durchfluss CO₂ Durchfluss	0,8	ml/min
	7	kg/h
Grundöl	Additivi	ertes Öl

- Sonnenblumenöl:
  additivierten Varianten
  (NE 03(xx)) konnten eine
  höhere Standzeit
  erreichen, als Grundöl (NE
  03)
- Rapsöl: additivierte Öle (NE 02(xx)) zeigen höhere Standzeit als Grundöle

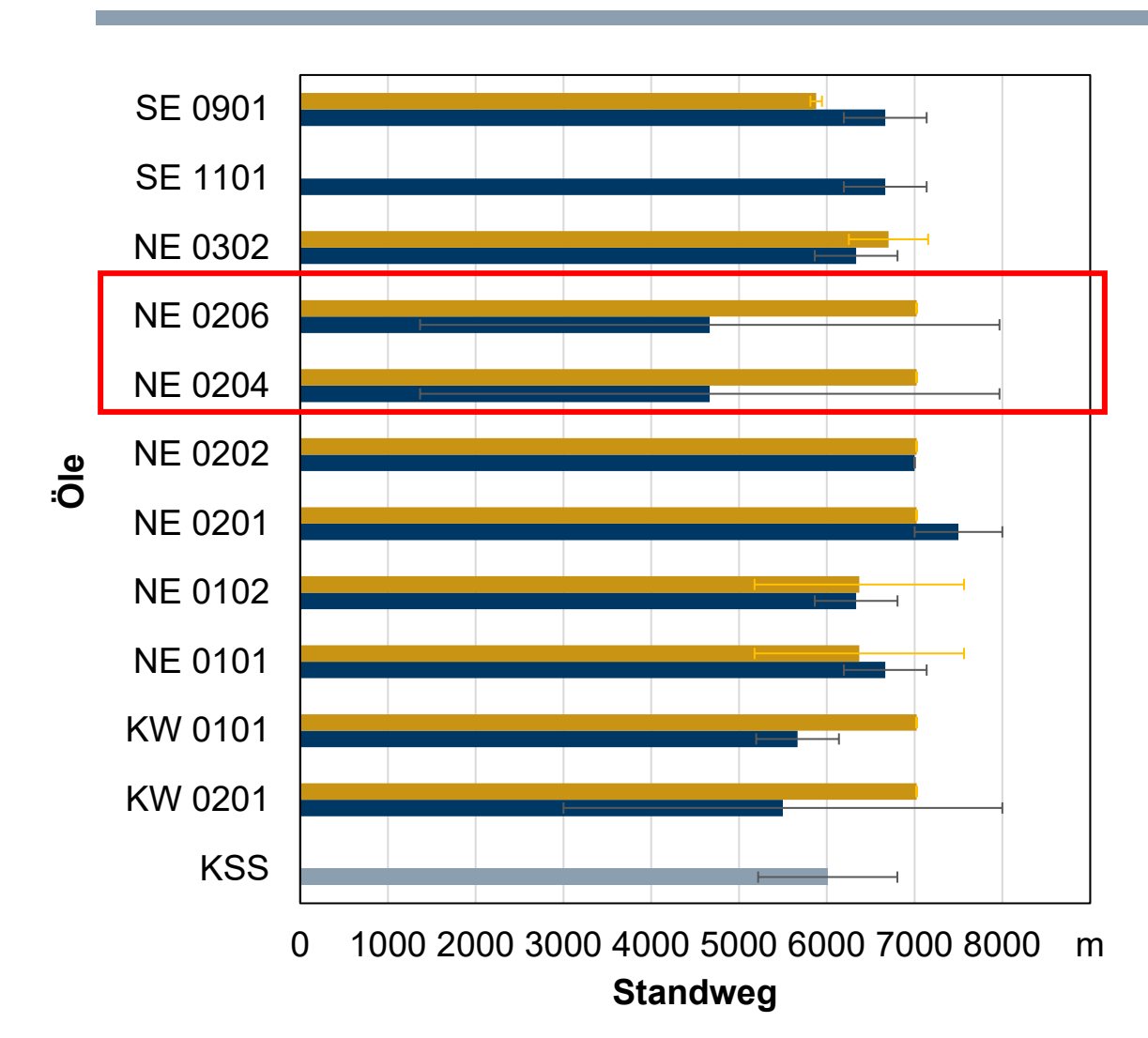
FNR-Bioschmierstofftagung 2023 22. Juni 2023 23. Juni 2023 23. Juni 2023 23. Juni 2023 24. Juni 2023 25. Juni 2023 26. Juni 2023 26. Juni 2023 26. Juni 2023 27. Juni 2023 27. Juni 2023 28. Juni 2023 29. Juni 2023

### Korrelation mit Schlichtdrehprozess









Schlichtdrehen			
Parameter	Wert		
Material	1.3505		
V <sub>c</sub>	200	m/min	
f	0,12	mm/U	
$a_p$	0,1	mm	
Öl Durchfluss	0,8	ml/min	
CO <sub>2</sub> Durchfluss	2,5	kg/h	
Grundöl	Additivi	ertes Öl	

- Sonnenblumenöl: mit den additivierten Varianten (NE 03(xx)) konnte eine höhere Standzeit erreicht werden, als mit dem Grundöl (NE 03)
- Rapsöl: teilweise Grundöle (NE 02) höhere Standzeit als additivierte Öle

FNR-Bioschmierstofftagung 2023 22. Juni 2023 22. Juni 2023 25. Juni 2023 26. Juni 2023 27. Juni 2023 27. Juni 2023 27. Juni 2023 28. Juni 2023 29. Juni 2023

Technische Fakultät



### Zusammenfassung

### Zusammenfassung







### Kryogene Minimalmengenschmierung mit bioasierten Ölen

- Kein direkter Einfluss der Additivierung von biobasierten Ölen auf die Löslichkeit und das Sprühbild
- additivierte native Öle können die Werkzeugstandzeit erhöhen
- Kohlenwasserstoffe (KW 01(xx), KW 02(xx)):
  - teilweise gelöst in CO<sub>2</sub>
- Native Ester (Rapsöl NE 01(xx), Kokosöl NE 02(xx), Sonnenblumenöl NE 03(xx)):
  - Raps- und Sonnenblumenöl: intensiver Ölauftrag und Randströmung bei niedrigen Durchflussraten
  - Kokosnussöl: niedrige Viskosität führt zu starker Zerstäubung
- Synthetische Ester (SE 01(xx) and SE 09(xx)):
  - zerstäuben ähnlich wie Kokosöl
  - vollständige Löslichkeit in der statischen Zelle
  - Kein direkter Einfluss der Zerstäubung und Löslichkeit auf die Zerspanungsergebnisse feststellbar
  - Vollständige Löslichkeit des Öls im CO<sub>2</sub> für gleichmäßigen Ölauftrag und ein gleichmäßiges Sprühbild nicht erforderlich

- Viskosität und Strömungsgeschwindigkeit bedingen laminare Randströmung
  - ausgewählte Prozess- und Kühlschmierparameter haben Einfluss auf die Werkzeugstandzeit und bedingen weitere Untersuchungen
- Untersuchungen zu Werkzeugen und Beschichtungen unter dem Einfluss von:
  - Medium CO<sub>2</sub>
  - Thermoschock
  - Einfluss der Schmierstoffadditive
- Untersuchungen zu alternativen Additiven für biobasierte Öle (MMS/kMMS)

### Zusammenfassung







Kryogene Minimalmengenschmierung mit bioasierten Ölen

### Die Löslichkeit von Triglyceriden in CO<sub>2</sub> hängt stark von der Anzahl an C-Atomen ab

Valle Del, J. M. et al.: A refined equation for predicting the solubility of vegetable oils in high-pressure CO2 (2012).

- Vollständige Löslichkeit zeigten ausschließlich synthetische Ester.
- Anzahl der C-Atome dieser Öle zwischen 10 und 11
- Alle weiteren Versuchsöle besitzen eine größere Anzahl an C-Atomen.

### Geringere kinematische Viskosität des Schmierstoffes sorgt für bessere Löslichkeit

Bergs, T. et al.: Investigation of the Solubility of Liquid CO2 and Liquid Oil to Realize an Internal Single Channel Supply in Milling of Ti6Al4V (2019).

 Sowohl vollständig lösbare synthetischen Ester als auch nichtlösbare Kohlenwasserstoffe weisen für Viskosität 100 m²/s uneingeschränkt einen Wert von < 2 auf</li>

### Unpolare Öle lösen sich besser in LCO2 als polare Öle

Grguraš, D. et al.: Media Flow Analysis of Single-Channel Pre-Mixed Liquid CO2 and MQL in Sustainable Machining (2019).

- vollständig gelöste Versuchsöle weisen im Fall von SE 0101 einen schwach polaren und SE0901 und SE0902 einen polaren Zustand auf
- Unploare Öle wie KW0201 lösen sich nicht

### **Empfehlungen**







Kryogene Minimalmengenschmierung mit bioasierten Ölen

- Für intensiven Ölauftrag Grundöl auf Basis von Raps- oder Sonnenblumenöl
- Für homogenes Gemisch von Öl und CO<sub>2</sub> Verwendung von synthetischen Monoester
- Schwefel und Phosphor beeinflussen das Misch-, Sprüh- und Strömungsverhalten eines biologischen Grundöls nicht nachweisleich
- Bei Unterschreitung der  $CO_2$ -Dichte von  $\rho$  = 500 kg/m³ steigt der Gasanteil und führt zu Pulsationseffekten
- Zur Stabilisierung (vollständiger flüssiger Aggregatzustand) des CO<sub>2</sub> bei einkanaliger Zuführung sollte Kühlung des Mediums nach Austritt aus den Steigrohrflaschen erfolgen



# Vielen Dank für die Aufmerksamkeit!



Friedrich-Alexander-Universität (FAU) Erlangen-Nürnberg Institute of Resource and Energy Efficient Production Systems (REP)

R E<sup>2</sup> P

Dr.-Mack-Str. 81 | Technikum 1 90762 Fürth

www.rep.tf.fau.de | www.ncatec.de